

Supplementary materials

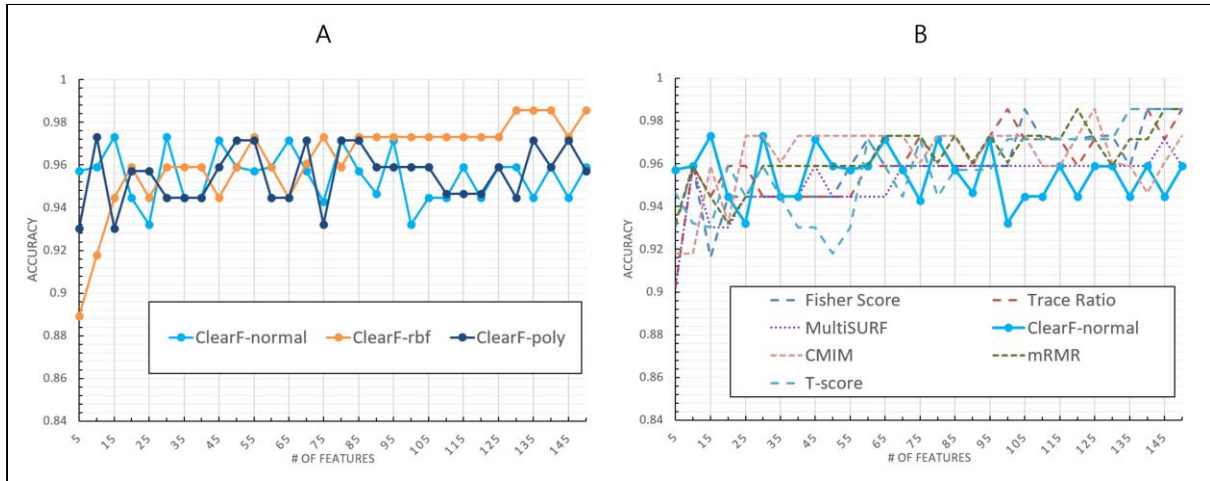


Figure S1 - Cross-validation accuracy for the Leukemia dataset with respect to the number of features. A presents the results of the PCA (ClearF-normal), KernelPCA with RBF kernel (ClearF-rbf) and KernelPCA with polynomial kernel (ClearF-poly) used in the proposed method; and B compares the results of the other algorithms with our method using the best result kernel.

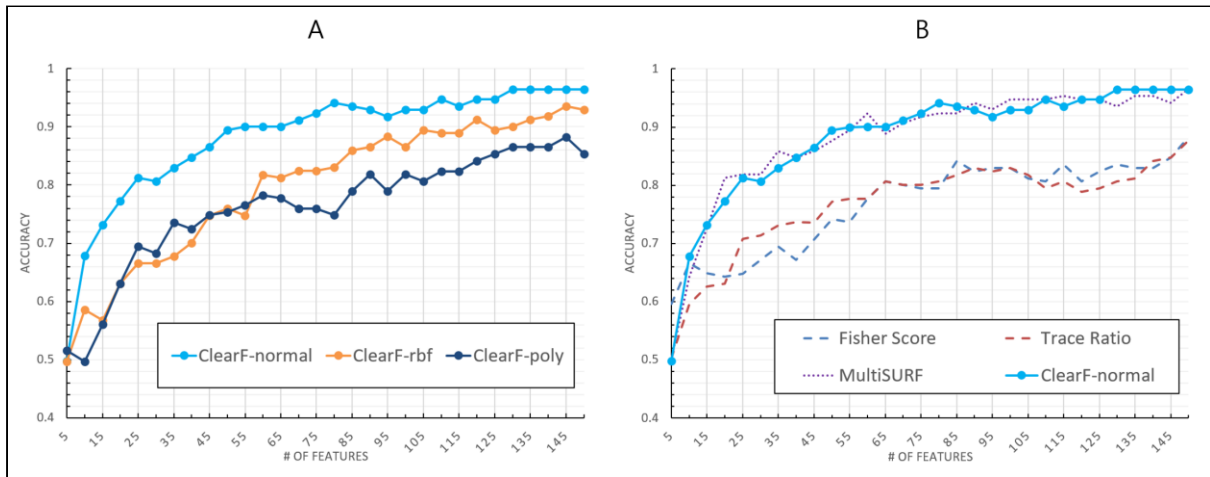


Figure S2 - Cross-validation accuracy for the TOX171 dataset with respect to the number of features. A presents the results of the PCA (ClearF-normal), KernelPCA with RBF kernel (ClearF-rbf) and KernelPCA with polynomial kernel (ClearF-poly) used in the proposed method; and B compares the results of the other algorithms with our method using the best result kernel.

Table S1 - Detailed results of performance validation for Lung dataset

# of features	Fisher score	Trace ratio	Multi SURF	ClearF normal	ClearF rbf	ClearF poly
5	0.79±0.07	0.78±0.06	0.76±0.12	0.79±0.1	0.85±0.07	0.77±0.06
10	0.78±0.08	0.79±0.08	0.86±0.06	0.88±0.11	0.9±0.08	0.88±0.09
15	0.8±0.09	0.79±0.07	0.88±0.08	0.89±0.08	0.9±0.09	0.85±0.08
20	0.8±0.1	0.82±0.09	0.91±0.06	0.89±0.09	0.91±0.11	0.86±0.08
25	0.87±0.12	0.82±0.08	0.9±0.06	0.91±0.07	0.91±0.1	0.9±0.08
30	0.87±0.1	0.84±0.08	0.9±0.05	0.92±0.08	0.94±0.08	0.9±0.07
35	0.86±0.09	0.86±0.1	0.9±0.07	0.93±0.07	0.93±0.07	0.91±0.06
40	0.87±0.1	0.89±0.1	0.92±0.06	0.93±0.04	0.94±0.07	0.91±0.08
45	0.87±0.09	0.93±0.07	0.92±0.06	0.93±0.07	0.95±0.07	0.91±0.08
50	0.9±0.07	0.92±0.08	0.92±0.06	0.93±0.07	0.95±0.07	0.93±0.09
55	0.9±0.07	0.92±0.06	0.92±0.07	0.93±0.06	0.96±0.06	0.93±0.08
60	0.9±0.08	0.93±0.06	0.92±0.07	0.92±0.06	0.95±0.07	0.92±0.09
65	0.9±0.07	0.92±0.07	0.93±0.07	0.93±0.06	0.95±0.07	0.92±0.08
70	0.9±0.09	0.92±0.08	0.92±0.07	0.94±0.06	0.94±0.07	0.93±0.08
75	0.9±0.09	0.93±0.08	0.93±0.07	0.94±0.07	0.95±0.06	0.92±0.07
80	0.9±0.09	0.94±0.07	0.93±0.08	0.92±0.06	0.95±0.06	0.93±0.09
85	0.92±0.09	0.93±0.08	0.93±0.08	0.93±0.06	0.95±0.06	0.93±0.08
90	0.92±0.1	0.93±0.07	0.94±0.07	0.93±0.08	0.95±0.07	0.93±0.08
95	0.92±0.1	0.94±0.07	0.93±0.07	0.95±0.07	0.95±0.07	0.92±0.07
100	0.92±0.12	0.94±0.07	0.94±0.06	0.92±0.07	0.95±0.06	0.92±0.08
105	0.92±0.09	0.94±0.08	0.94±0.06	0.93±0.07	0.96±0.07	0.93±0.07
110	0.91±0.1	0.94±0.08	0.93±0.06	0.94±0.07	0.96±0.06	0.93±0.08
115	0.92±0.09	0.94±0.07	0.94±0.06	0.95±0.07	0.95±0.06	0.92±0.07
120	0.92±0.09	0.93±0.07	0.94±0.06	0.94±0.08	0.96±0.07	0.92±0.07
125	0.93±0.08	0.93±0.07	0.94±0.06	0.94±0.08	0.96±0.07	0.93±0.08
130	0.93±0.06	0.94±0.09	0.94±0.06	0.94±0.08	0.96±0.07	0.93±0.08
135	0.94±0.06	0.93±0.08	0.94±0.06	0.94±0.08	0.96±0.06	0.93±0.08
140	0.94±0.08	0.93±0.07	0.94±0.06	0.94±0.08	0.97±0.07	0.94±0.08
145	0.94±0.08	0.92±0.08	0.94±0.06	0.93±0.08	0.96±0.06	0.93±0.08
150	0.94±0.08	0.94±0.08	0.94±0.06	0.93±0.08	0.96±0.06	0.93±0.07

Table S2 - Detailed results of performance validation for LungDiscrete dataset

# of features	mRMR	CMIM	Fisher score	Trace ratio	Multi SURF	ClearF normal	ClearF rbf	ClearF poly
5	0.62±0.2	0.53±0.23	0.52±0.19	0.52±0.15	0.49±0.13	0.57±0.21	0.56±0.21	0.57±0.18
10	0.72±0.15	0.68±0.22	0.54±0.09	0.56±0.11	0.56±0.16	0.67±0.16	0.65±0.13	0.58±0.18
15	0.71±0.18	0.73±0.13	0.66±0.14	0.63±0.14	0.74±0.13	0.72±0.19	0.76±0.15	0.7±0.18
20	0.73±0.14	0.84±0.19	0.65±0.12	0.66±0.18	0.77±0.19	0.81±0.1	0.81±0.11	0.76±0.13
25	0.77±0.15	0.83±0.15	0.7±0.18	0.71±0.15	0.76±0.19	0.82±0.13	0.86±0.11	0.81±0.11
30	0.74±0.15	0.84±0.14	0.72±0.18	0.69±0.17	0.81±0.18	0.88±0.11	0.88±0.12	0.81±0.16
35	0.8±0.15	0.83±0.14	0.69±0.15	0.73±0.14	0.79±0.15	0.84±0.16	0.91±0.09	0.84±0.14
40	0.78±0.17	0.85±0.15	0.8±0.12	0.78±0.13	0.8±0.16	0.85±0.14	0.89±0.13	0.81±0.14
45	0.81±0.22	0.88±0.13	0.84±0.1	0.79±0.14	0.84±0.11	0.87±0.15	0.91±0.14	0.84±0.14
50	0.81±0.2	0.88±0.12	0.86±0.13	0.81±0.13	0.84±0.12	0.88±0.13	0.89±0.13	0.84±0.15
55	0.84±0.16	0.88±0.12	0.85±0.12	0.85±0.17	0.85±0.14	0.89±0.11	0.91±0.11	0.84±0.15
60	0.84±0.14	0.88±0.15	0.81±0.16	0.84±0.14	0.85±0.11	0.87±0.16	0.91±0.11	0.84±0.15
65	0.85±0.13	0.89±0.12	0.82±0.17	0.85±0.13	0.89±0.11	0.87±0.13	0.92±0.11	0.86±0.14
70	0.83±0.13	0.88±0.12	0.86±0.13	0.85±0.15	0.88±0.13	0.89±0.12	0.91±0.11	0.88±0.13
75	0.83±0.16	0.89±0.12	0.88±0.15	0.86±0.13	0.88±0.11	0.89±0.11	0.89±0.11	0.89±0.13
80	0.86±0.19	0.88±0.13	0.81±0.13	0.85±0.12	0.89±0.11	0.89±0.14	0.89±0.12	0.89±0.11
85	0.86±0.13	0.88±0.14	0.81±0.16	0.82±0.1	0.89±0.11	0.88±0.12	0.89±0.11	0.89±0.11
90	0.86±0.12	0.88±0.14	0.84±0.14	0.84±0.14	0.86±0.11	0.88±0.13	0.91±0.11	0.85±0.13
95	0.86±0.1	0.88±0.11	0.81±0.14	0.85±0.14	0.89±0.11	0.89±0.11	0.89±0.12	0.86±0.11
100	0.86±0.12	0.88±0.12	0.86±0.11	0.85±0.13	0.89±0.11	0.89±0.12	0.91±0.11	0.88±0.11
105	0.86±0.11	0.88±0.11	0.82±0.12	0.85±0.1	0.91±0.11	0.89±0.1	0.87±0.12	0.88±0.13
110	0.85±0.13	0.88±0.11	0.84±0.11	0.82±0.13	0.91±0.13	0.89±0.1	0.89±0.11	0.89±0.13
115	0.85±0.13	0.88±0.12	0.85±0.1	0.82±0.14	0.91±0.11	0.89±0.09	0.89±0.11	0.89±0.14
120	0.87±0.12	0.89±0.12	0.85±0.1	0.84±0.12	0.91±0.11	0.88±0.1	0.89±0.11	0.88±0.12
125	0.87±0.11	0.88±0.12	0.84±0.13	0.84±0.14	0.91±0.13	0.88±0.11	0.88±0.11	0.87±0.11
130	0.88±0.12	0.89±0.11	0.84±0.11	0.83±0.12	0.91±0.15	0.88±0.11	0.88±0.1	0.87±0.12
135	0.89±0.11	0.89±0.11	0.88±0.11	0.84±0.11	0.88±0.11	0.91±0.11	0.88±0.1	0.87±0.11
140	0.89±0.1	0.89±0.12	0.88±0.09	0.86±0.09	0.89±0.11	0.89±0.11	0.89±0.11	0.88±0.12
145	0.89±0.11	0.89±0.11	0.88±0.1	0.89±0.12	0.88±0.11	0.91±0.12	0.89±0.1	0.88±0.11
150	0.91±0.09	0.89±0.12	0.89±0.09	0.88±0.12	0.91±0.12	0.89±0.11	0.85±0.12	0.87±0.11

Table S3 - Detailed results of performance validation for ProstateGE dataset

# of features	t-score	Fisher score	Trace ratio	Multi SURF	ClearF normal	ClearF rbf	ClearF poly
5	0.79±0.18	0.92±0.2	0.88±0.08	0.86±0.2	0.86±0.12	0.92±0.2	0.88±0.2
10	0.81±0.19	0.87±0.11	0.92±0.11	0.84±0.2	0.93±0.09	0.94±0.19	0.94±0.2
15	0.87±0.25	0.92±0.2	0.91±0.21	0.87±0.2	0.93±0.08	0.91±0.09	0.92±0.09
20	0.86±0.21	0.86±0.21	0.83±0.14	0.86±0.08	0.94±0.09	0.93±0.08	0.93±0.08
25	0.92±0.2	0.92±0.13	0.83±0.11	0.85±0.2	0.92±0.19	0.92±0.09	0.93±0.09
30	0.9±0.11	0.91±0.11	0.86±0.12	0.86±0.22	0.87±0.2	0.91±0.09	0.92±0.08
35	0.91±0.1	0.91±0.1	0.91±0.1	0.92±0.2	0.91±0.19	0.91±0.11	0.93±0.09
40	0.91±0.11	0.92±0.11	0.9±0.11	0.86±0.1	0.92±0.1	0.91±0.19	0.92±0.09
45	0.92±0.13	0.91±0.1	0.86±0.1	0.87±0.11	0.87±0.19	0.86±0.19	0.92±0.2
50	0.91±0.11	0.92±0.11	0.9±0.1	0.92±0.19	0.93±0.09	0.89±0.09	0.92±0.1
55	0.92±0.11	0.93±0.11	0.92±0.11	0.92±0.08	0.92±0.09	0.92±0.19	0.91±0.2
60	0.9±0.1	0.92±0.11	0.9±0.11	0.87±0.2	0.86±0.09	0.9±0.1	0.91±0.11
65	0.92±0.1	0.92±0.1	0.91±0.1	0.86±0.11	0.91±0.1	0.92±0.14	0.91±0.2
70	0.86±0.11	0.91±0.11	0.91±0.1	0.86±0.09	0.92±0.1	0.92±0.19	0.9±0.11
75	0.91±0.11	0.9±0.1	0.93±0.08	0.86±0.2	0.92±0.19	0.91±0.1	0.89±0.2
80	0.91±0.11	0.91±0.1	0.91±0.11	0.86±0.19	0.92±0.09	0.9±0.2	0.89±0.19
85	0.92±0.11	0.93±0.11	0.93±0.08	0.92±0.08	0.92±0.09	0.92±0.11	0.85±0.09
90	0.92±0.09	0.87±0.08	0.92±0.11	0.85±0.11	0.93±0.09	0.94±0.19	0.92±0.09
95	0.92±0.11	0.93±0.11	0.92±0.08	0.86±0.19	0.93±0.19	0.92±0.09	0.9±0.19
100	0.93±0.09	0.93±0.09	0.92±0.1	0.87±0.19	0.93±0.09	0.92±0.11	0.91±0.1
105	0.93±0.08	0.91±0.11	0.86±0.08	0.88±0.09	0.93±0.09	0.91±0.11	0.91±0.1
110	0.9±0.09	0.91±0.08	0.92±0.08	0.86±0.09	0.93±0.08	0.92±0.09	0.92±0.1
115	0.91±0.08	0.94±0.11	0.93±0.08	0.85±0.1	0.93±0.09	0.92±0.08	0.91±0.11
120	0.9±0.09	0.92±0.09	0.92±0.1	0.9±0.2	0.93±0.11	0.92±0.1	0.92±0.11
125	0.9±0.11	0.92±0.09	0.92±0.1	0.92±0.09	0.93±0.08	0.9±0.08	0.92±0.1
130	0.91±0.08	0.92±0.09	0.94±0.11	0.85±0.08	0.92±0.08	0.92±0.08	0.9±0.09
135	0.93±0.09	0.91±0.11	0.92±0.09	0.94±0.08	0.93±0.08	0.93±0.08	0.91±0.09
140	0.93±0.11	0.9±0.09	0.91±0.11	0.87±0.08	0.9±0.2	0.92±0.07	0.9±0.1
145	0.91±0.09	0.92±0.11	0.93±0.08	0.87±0.08	0.93±0.19	0.93±0.09	0.9±0.1
150	0.92±0.08	0.91±0.09	0.93±0.08	0.93±0.2	0.93±0.08	0.92±0.08	0.92±0.1

Table S4 - Detailed results of performance validation for Leukemia dataset

# of features	mRMR	CMIM	t-score	Fisher score	Trace ratio	Multi SURF	ClearF normal	ClearF rbf	ClearF poly
5	0.93±0.09	0.92±0.1	0.95±0.15	0.93±0.1	0.9±0.15	0.9±0.14	0.96±0.14	0.89±0.13	0.93±0.1
10	0.96±0.15	0.92±0.06	0.93±0.09	0.96±0.07	0.96±0.1	0.96±0.07	0.96±0.07	0.92±0.09	0.97±0.06
15	0.94±0.14	0.96±0.1	0.93±0.1	0.92±0.09	0.94±0.1	0.93±0.07	0.97±0.06	0.94±0.1	0.93±0.1
20	0.93±0.07	0.93±0.1	0.96±0.07	0.94±0.1	0.96±0.06	0.93±0.1	0.94±0.1	0.96±0.07	0.96±0.1
25	0.94±0.07	0.97±0.07	0.94±0.07	0.94±0.1	0.96±0.06	0.94±0.1	0.93±0.1	0.94±0.1	0.96±0.1
30	0.96±0.06	0.97±0.1	0.96±0.07	0.94±0.1	0.94±0.1	0.94±0.1	0.97±0.06	0.96±0.07	0.94±0.1
35	0.96±0.14	0.96±0.07	0.94±0.06	0.94±0.1	0.94±0.1	0.94±0.1	0.94±0.1	0.96±0.07	0.94±0.1
40	0.96±0.14	0.97±0.1	0.93±0.06	0.94±0.1	0.94±0.1	0.94±0.1	0.94±0.1	0.96±0.1	0.94±0.1
45	0.96±0.14	0.97±0.07	0.93±0.06	0.94±0.09	0.94±0.1	0.96±0.07	0.97±0.07	0.94±0.07	0.96±0.06
50	0.96±0.14	0.97±0.07	0.92±0.06	0.94±0.07	0.94±0.06	0.94±0.1	0.96±0.06	0.96±0.1	0.97±0.07
55	0.96±0.14	0.97±0.07	0.93±0.06	0.96±0.07	0.94±0.1	0.94±0.1	0.96±0.1	0.97±0.06	0.97±0.06
60	0.96±0.14	0.97±0.07	0.97±0.06	0.97±0.07	0.96±0.07	0.94±0.1	0.96±0.06	0.96±0.07	0.94±0.1
65	0.97±0.1	0.97±0.07	0.96±0.06	0.96±0.07	0.96±0.07	0.94±0.1	0.97±0.06	0.94±0.07	0.94±0.1
70	0.97±0.1	0.97±0.06	0.94±0.06	0.96±0.06	0.96±0.06	0.96±0.07	0.96±0.07	0.96±0.06	0.97±0.1
75	0.97±0.06	0.96±0.06	0.97±0.07	0.96±0.07	0.97±0.07	0.96±0.07	0.94±0.1	0.97±0.07	0.93±0.06
80	0.96±0.1	0.97±0.07	0.94±0.06	0.96±0.07	0.96±0.07	0.96±0.07	0.97±0.1	0.96±0.07	0.97±0.07
85	0.97±0.1	0.97±0.07	0.96±0.06	0.96±0.07	0.96±0.07	0.96±0.07	0.96±0.07	0.97±0.06	0.97±0.1
90	0.96±0.1	0.96±0.07	0.96±0.06	0.96±0.07	0.96±0.07	0.96±0.07	0.95±0.1	0.97±0.06	0.96±0.06
95	0.97±0.1	0.97±0.07	0.96±0.07	0.96±0.07	0.97±0.06	0.96±0.07	0.97±0.06	0.97±0.06	0.96±0.07
100	0.96±0.1	0.97±0.07	0.97±0.06	0.96±0.07	0.99±0.05	0.96±0.07	0.93±0.07	0.97±0.06	0.96±0.07
105	0.97±0.06	0.97±0.07	0.97±0.06	0.99±0.05	0.97±0.06	0.96±0.07	0.94±0.07	0.97±0.06	0.96±0.07
110	0.97±0.06	0.96±0.07	0.97±0.06	0.97±0.06	0.97±0.06	0.96±0.07	0.94±0.07	0.97±0.06	0.95±0.07
115	0.97±0.06	0.96±0.06	0.97±0.06	0.97±0.06	0.97±0.06	0.96±0.07	0.96±0.07	0.97±0.06	0.95±0.07
120	0.99±0.06	0.97±0.06	0.97±0.06	0.97±0.06	0.96±0.07	0.96±0.07	0.94±0.07	0.97±0.06	0.95±0.07
125	0.97±0.06	0.99±0.06	0.97±0.06	0.97±0.06	0.97±0.06	0.96±0.07	0.96±0.07	0.97±0.05	0.96±0.06
130	0.96±0.06	0.96±0.06	0.97±0.06	0.97±0.06	0.97±0.06	0.96±0.07	0.96±0.07	0.99±0.05	0.94±0.07
135	0.97±0.05	0.96±0.06	0.99±0.06	0.96±0.07	0.99±0.05	0.96±0.07	0.94±0.07	0.99±0.05	0.97±0.06
140	0.97±0.05	0.95±0.07	0.99±0.06	0.99±0.05	0.99±0.05	0.96±0.07	0.96±0.07	0.99±0.05	0.96±0.06
145	0.99±0.05	0.96±0.07	0.99±0.07	0.99±0.05	0.97±0.06	0.97±0.07	0.94±0.07	0.97±0.05	0.97±0.1
150	0.99±0.05	0.97±0.07	0.99±0.07	0.99±0.05	0.99±0.05	0.96±0.07	0.96±0.1	0.99±0.05	0.96±0.06

Table S5 - Detailed results of performance validation for TOX171 dataset

# of features	Fisher score	Trace ratio	Multi SURF	ClearF normal	ClearF rbf	ClearF poly
5	0.6±0.13	0.5±0.13	0.5±0.08	0.5±0.11	0.5±0.18	0.52±0.14
10	0.67±0.14	0.6±0.1	0.64±0.09	0.68±0.12	0.59±0.09	0.5±0.13
15	0.65±0.17	0.63±0.15	0.73±0.12	0.73±0.12	0.57±0.1	0.56±0.1
20	0.64±0.15	0.63±0.13	0.81±0.09	0.77±0.12	0.63±0.12	0.63±0.12
25	0.65±0.14	0.71±0.14	0.82±0.09	0.81±0.1	0.67±0.1	0.69±0.1
30	0.67±0.11	0.71±0.11	0.82±0.07	0.81±0.1	0.67±0.08	0.68±0.13
35	0.7±0.11	0.73±0.11	0.86±0.1	0.83±0.09	0.68±0.13	0.74±0.13
40	0.67±0.1	0.74±0.12	0.85±0.08	0.85±0.12	0.7±0.11	0.72±0.09
45	0.71±0.09	0.74±0.11	0.86±0.1	0.87±0.1	0.75±0.12	0.75±0.13
50	0.74±0.09	0.77±0.09	0.88±0.1	0.89±0.12	0.76±0.13	0.75±0.13
55	0.74±0.09	0.78±0.09	0.89±0.08	0.9±0.11	0.75±0.14	0.77±0.12
60	0.78±0.1	0.78±0.07	0.92±0.08	0.9±0.09	0.82±0.15	0.78±0.11
65	0.81±0.08	0.81±0.1	0.89±0.08	0.9±0.1	0.81±0.09	0.78±0.11
70	0.8±0.13	0.8±0.12	0.91±0.08	0.91±0.1	0.82±0.07	0.76±0.11
75	0.79±0.11	0.8±0.12	0.92±0.09	0.92±0.1	0.82±0.09	0.76±0.11
80	0.79±0.1	0.81±0.1	0.92±0.08	0.94±0.08	0.83±0.09	0.75±0.11
85	0.84±0.1	0.82±0.1	0.92±0.07	0.94±0.09	0.86±0.11	0.79±0.06
90	0.82±0.11	0.83±0.11	0.94±0.07	0.93±0.1	0.87±0.09	0.82±0.08
95	0.83±0.11	0.82±0.11	0.93±0.08	0.92±0.1	0.88±0.09	0.79±0.09
100	0.83±0.11	0.83±0.12	0.95±0.07	0.93±0.1	0.87±0.08	0.82±0.07
105	0.81±0.11	0.82±0.12	0.95±0.08	0.93±0.09	0.89±0.06	0.81±0.08
110	0.81±0.14	0.79±0.1	0.95±0.08	0.95±0.09	0.89±0.06	0.82±0.08
115	0.84±0.11	0.81±0.12	0.95±0.07	0.94±0.09	0.89±0.07	0.82±0.07
120	0.81±0.13	0.79±0.12	0.95±0.07	0.95±0.08	0.91±0.08	0.84±0.06
125	0.82±0.11	0.79±0.1	0.95±0.07	0.95±0.08	0.89±0.08	0.85±0.07
130	0.84±0.12	0.81±0.1	0.94±0.07	0.96±0.07	0.9±0.08	0.87±0.08
135	0.83±0.1	0.81±0.09	0.95±0.07	0.96±0.07	0.91±0.06	0.87±0.08
140	0.83±0.09	0.84±0.08	0.95±0.07	0.96±0.07	0.92±0.08	0.87±0.09
145	0.85±0.09	0.85±0.09	0.94±0.08	0.96±0.07	0.94±0.08	0.88±0.08
150	0.88±0.1	0.88±0.1	0.97±0.07	0.96±0.07	0.93±0.08	0.85±0.09

Table S6 - Detailed results of performance validation for TCGA dataset

# of features	Fisher score	Trace ratio	Multi SURF	ClearF normal	ClearF rbf	ClearF poly
5	0.78±0.09	0.8±0.09	0.83±0.08	0.83±0.08	0.8±0.08	0.79±0.07
10	0.82±0.09	0.84±0.07	0.83±0.09	0.83±0.08	0.85±0.07	0.85±0.07
15	0.84±0.08	0.83±0.09	0.82±0.09	0.86±0.07	0.86±0.07	0.86±0.08
20	0.83±0.08	0.85±0.08	0.83±0.09	0.84±0.07	0.86±0.06	0.87±0.06
25	0.85±0.08	0.85±0.07	0.83±0.09	0.85±0.07	0.86±0.06	0.86±0.06
30	0.85±0.07	0.85±0.08	0.84±0.1	0.84±0.07	0.86±0.06	0.86±0.07
35	0.84±0.09	0.85±0.08	0.84±0.09	0.84±0.07	0.85±0.07	0.86±0.08
40	0.84±0.08	0.84±0.09	0.83±0.08	0.86±0.08	0.85±0.06	0.86±0.08
45	0.85±0.09	0.85±0.1	0.83±0.1	0.85±0.08	0.86±0.07	0.86±0.06
50	0.86±0.08	0.86±0.09	0.84±0.09	0.86±0.08	0.86±0.07	0.85±0.07
55	0.85±0.07	0.85±0.08	0.84±0.09	0.85±0.07	0.86±0.08	0.85±0.08
60	0.86±0.07	0.85±0.08	0.83±0.09	0.86±0.07	0.85±0.07	0.85±0.08
65	0.85±0.09	0.85±0.07	0.82±0.09	0.85±0.07	0.86±0.08	0.86±0.08
70	0.84±0.08	0.85±0.09	0.82±0.09	0.86±0.09	0.86±0.07	0.85±0.07
75	0.83±0.1	0.85±0.07	0.83±0.09	0.85±0.09	0.85±0.08	0.85±0.08
80	0.86±0.08	0.85±0.09	0.83±0.1	0.84±0.07	0.86±0.08	0.84±0.09
85	0.84±0.08	0.84±0.09	0.82±0.1	0.85±0.07	0.86±0.08	0.85±0.07
90	0.84±0.09	0.85±0.09	0.82±0.09	0.85±0.07	0.84±0.08	0.85±0.07
95	0.83±0.09	0.86±0.09	0.81±0.1	0.86±0.07	0.85±0.08	0.85±0.08
100	0.84±0.09	0.85±0.08	0.82±0.09	0.86±0.07	0.85±0.08	0.85±0.07
105	0.84±0.09	0.85±0.08	0.82±0.09	0.85±0.08	0.85±0.07	0.85±0.08
110	0.84±0.09	0.85±0.09	0.83±0.09	0.85±0.07	0.85±0.08	0.84±0.07
115	0.84±0.09	0.84±0.08	0.83±0.09	0.85±0.07	0.84±0.08	0.85±0.09
120	0.85±0.08	0.85±0.08	0.83±0.09	0.85±0.07	0.84±0.07	0.83±0.09
125	0.84±0.08	0.85±0.08	0.83±0.08	0.84±0.07	0.83±0.07	0.84±0.07
130	0.84±0.09	0.85±0.08	0.83±0.09	0.85±0.07	0.83±0.06	0.84±0.07
135	0.84±0.09	0.85±0.08	0.82±0.09	0.85±0.08	0.84±0.07	0.84±0.08
140	0.84±0.08	0.85±0.09	0.82±0.09	0.85±0.08	0.85±0.08	0.83±0.08
145	0.83±0.08	0.85±0.09	0.82±0.08	0.85±0.08	0.83±0.08	0.83±0.08
150	0.83±0.08	0.84±0.09	0.82±0.08	0.85±0.09	0.84±0.08	0.83±0.08